



Calcul de bornes inférieures pour les problèmes de tournées dans LocalSolver

Alexandre Bontems

www.localsolver.com

ROADEF 2020



Tour rapide de LocalSolver

- ▶ Solveur “model & run”
 - ▶ Outils de modélisation simples
 - ▶ Pas besoin de paramétrage
- ▶ Variables de décision riches (bool, int, float, set, list)
- ▶ Grand nombre d'opérateurs (min, max, sum, prod, comparaisons, etc.)
- ▶ Combine plusieurs techniques d'optimisation
 - ▶ NLP/MINLP
 - ▶ LP/MILP
 - ▶ Recherche locale
 - ▶ CP/SAT



Variable de décision structurée: `list(n)`

- ▶ Sous-ensemble ordonné de valeurs dans $\{0, \dots, n - 1\}$
- ▶ Chaque valeur est unique dans la liste

Pour interagir avec la liste :

- ▶ `count(l)`: Nombre d'éléments dans la liste
- ▶ `at(l, i)`: Valeur à l'indice i dans la liste
- ▶ `indexOf(l, v)`: Indice de la valeur v dans la liste
- ▶ `contains(l, v)`: Vrai si v est dans la liste



TSP.lsp

```
nodes <- list(nbNodes);  
  
constraint count(nodes) == nbNodes;  
  
minimize sum(1..nbNodes-1, i => distance[nodes[i-  
1]][nodes[i]]) + distance[nodes[nbNodes-1]][nodes[0]];
```



TSP.lsp

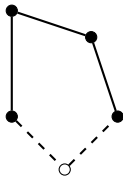
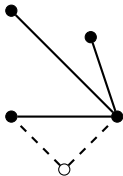
```
nodes <- list(nbNodes);  
  
constraint count(nodes) == nbNodes;  
  
minimize sum(1..nbNodes-1, i => distance[nodes[i-  
1]][nodes[i]]) + distance[nodes[nbNodes-1]][nodes[0]];
```

- ▶ Comment calculer des bornes pour ce modèle ?



1-tree de coût minimum

- ▶ MST dans $V \setminus \{i\}$ + deux arêtes incidentes à i de coût minimum
- ▶ Une tournée est un 1-tree avec $\delta(i) = 2, \forall i \in V$



Algorithme de sous-gradient

Relaxation lagrangienne (Held and Karp, 1970)

- ▶ Perturbation des coûts : $\bar{c}_{ij} = c_{ij} + \pi_i + \pi_j$
- ▶ Borne inférieure : $w(\pi) = c(T) - 2 \sum_{i \in V} \pi_i$



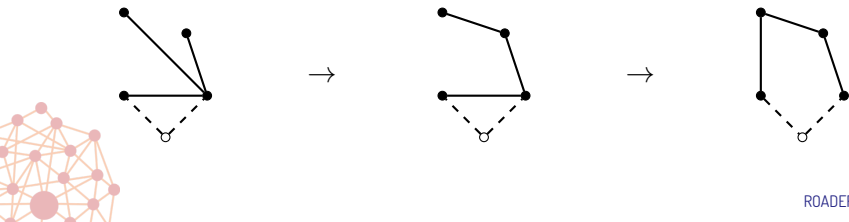
Algorithme de sous-gradient

Relaxation lagrangienne (Held and Karp, 1970)

- ▶ Perturbation des coûts : $\bar{c}_{ij} = c_{ij} + \pi_i + \pi_j$
- ▶ Borne inférieure : $w(\pi) = c(T) - 2 \sum_{i \in V} \pi_i$

Algorithme

- ▶ Trouver $\max w(\pi)$
- ▶ Calculer une série de 1-tree de coût min.
- ▶ Mettre à jour les poids : $\pi_i^{m+1} = \pi_i^m + t^m(\delta(i)^m - 2)$



Amélioration de l'algorithme

Itérations sur sous-graphe (Valenzuela and Jones, 1997)

- ▶ Itération sur le sous-graphe des plus proches voisins
- ▶ Calcul de la borne finale sur le graphe complet
- ▶ d1291 → de 13.380s à 0.989s



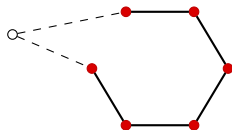
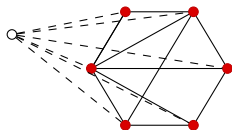
Amélioration de l'algorithme

Itérations sur sous-graphe (Valenzuela and Jones, 1997)

- ▶ Itération sur le sous-graphe des plus proches voisins
- ▶ Calcul de la borne finale sur le graphe complet
- ▶ d1291 \rightarrow de 13.380s à 0.989s

Borne pour le chemin hamiltonien de coût minimum

- ▶ Ajout d'un sommet fictif f avec $c_{if} = 0, \forall i \in V$



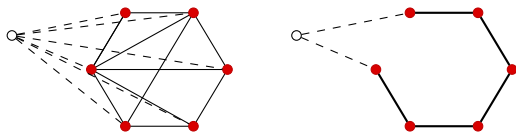
Amélioration de l'algorithme

Itérations sur sous-graphe (Valenzuela and Jones, 1997)

- ▶ Itération sur le sous-graphe des plus proches voisins
- ▶ Calcul de la borne finale sur le graphe complet
- ▶ d1291 \rightarrow de 13.380s à 0.989s

Borne pour le chemin hamiltonien de coût minimum

- ▶ Ajout d'un sommet fictif f avec $c_{if} = 0, \forall i \in V$



Cas asymétrique

- ▶ Deux jeux de poids pour chaque sommet

Results

Instance	Opt	Bound	Gap (%)	Time (secs)
gr48	5 046	4 950	1.9	0.020
st70	675	670	0.7	0.027
ch130	6 110	6 065	0.7	0.054
sil75	21407	21321	0.4	0.130
a280	2 579	2 562	0.6	0.155
rat575	6 773	6 713	0.8	0.353
d1291	50 801	49 136	3.2	0.989
br17	39	39	0.0	0.005
ftv70	1950	1906	2.2	0.037
kro124p	36 230	35 924	0.8	0.053
ftv170	2 755	2 703	1.8	0.072



Capacitated Vehicle Routing Problem

- ▶ Calcul de K-trees \rightarrow arbre couvrant avec $K + n$ arêtes
- ▶ Dualisation des contraintes de degré
- ▶ Dualisation des contraintes de capacité
 - ▶ Ajout dynamique de variables duales correspondants aux contraintes de capacité violées par un K-tree
- ▶ Algorithme pour calculer un K-tree au degré contraint



Programme linéaire des sous-tours

$$(P) \quad \left\{ \begin{array}{ll} \min & \sum_{(i,j) \in E} x_{ij} c_{ij} \\ \text{s.t.} & \sum_{(i,j) \in \delta(S)} x_{ij} \geq 2 \quad \forall S \subset V, S \neq \emptyset \\ & 0 \leq x_{ij} \leq 1 \quad \forall (i,j) \in E \end{array} \right.$$

- ▶ Contrainte serrée \rightarrow sommets adjacents dans la solution optimale



Programme linéaire des sous-tours

$$(P) \quad \left\{ \begin{array}{ll} \min & \sum_{(i,j) \in E} x_{ij} c_{ij} \\ \text{s.t.} & \sum_{(i,j) \in \delta(S)} x_{ij} \geq 2 \quad \forall S \subset V, S \neq \emptyset \\ & 0 \leq x_{ij} \leq 1 \quad \forall (i,j) \in E \end{array} \right.$$

- ▶ Contrainte serrée \rightarrow sommets adjacents dans la solution optimale

Première approche

- ▶ Ajouter les contraintes correspondants à des sommets adjacents dans une solution primale
- ▶ Limite sur la taille des sous-ensembles de sommets considérés



Résultats

Instance	Opt	Bound	Gap(%)	Time(secs)
gr48	5 046	4 769	5.4	0.025
st70	675	629	6.8	0.058
ch130	6 110	5 582	8.6	0.211
si175	21 407	21 140	1.2	0.417
a280	2 579	2 541	1.4	0.965
rat575	6 773	6 669	1.5	4.165
d1291	50 801	47 337	6.8	23.618
pr2392	378 032	359 672	4.8	236.016

- ▶ Passage à l'échelle problématique
- ▶ Pas de gain de performance par rapport à l'algorithme de sous-gradient



Programme dual

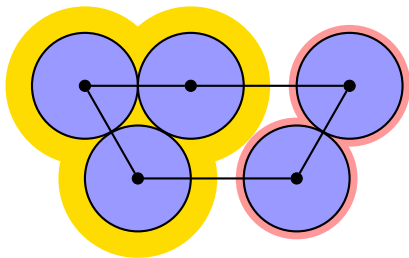
$$(D) \left\{ \begin{array}{ll} \max & \sum_{S \subset V, S \neq \emptyset} 2\pi_S \\ \text{s.c.} & \sum_{S: (i,j) \in \delta(S)} \pi_S \leq c_{ij} \quad \forall (i,j) \in E \\ & \pi_S \geq 0 \quad \forall S \subset V, S \neq \emptyset \end{array} \right.$$

- ▶ $\pi_S^* > 0 \rightarrow$ contrainte serrée dans P
- ▶ $x_{ij}^* > 0 \rightarrow$ contrainte serrée dans D



Programme dual

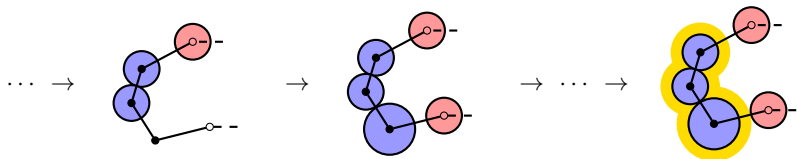
- ▶ Chaque tournée doit passer par les zones de contrôle de chaque sous-ensemble de sommets
- ▶ Les zones de contrôles correspondent aux contraintes serrées dans P



Un simple algorithme glouton

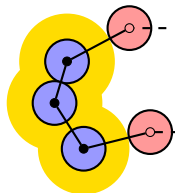
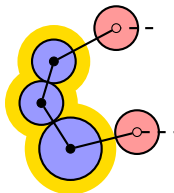
- ▶ Itérer sur les arêtes d'une solution primale
- ▶ Augmenter la valeur des variables duales π_S de manière gloutonne

Exemple d'exécution



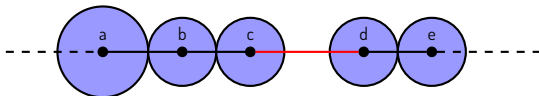
Résultats

Instance	Opt	Sol. value	Bound	Gap (%)	Time (secs)
gr48	5 046	5 046	4 466	11.4	0.0001
st70	675	677	597	11.5	0.0001
ch130	6 110	6 161	5 453	10.7	0.002
si175	21 407	21 414	20 829	2.7	0.003
a280	2 579	2 586	2 459	4.6	0.008
rat575	6 773	6 902	6 346	6.3	0.044
d1291	50 801	52 792	45 120	11.1	0.251
pr2392	378 032	396 320	345 604	8.5	1.026



Optimisation des variables π_S

- ▶ Résolution itérative de sous-problème du dual
- ▶ Sous-problème initial contient tous les $\pi_{\{i\}}$
- ▶ Arête non saturée \rightarrow Ajouter des variables π_S au sous-problème.



- ▶ Limite sur le nombre de variables qui impliquent un sommet donné



Instance	Opt	Sol. value	Bound	Gap (%)	Time (secs)
gr48	5 046	5 046	4 819	4.4	0.035
st70	675	677	628	6.9	0.090
ch130	6 110	6 161	6 039	1.1	0.418
si175	21 407	21 414	21 185	1.0	0.775
a280	2 579	2 586	2 555	0.9	1.238
rat575	6 773	6 902	6 644	1.9	12.909
d1291	50 801	52 792	48 229	5.0	58.016
pr2392	378 032	396 320	363 462	3.8	359.282

- ▶ Meilleurs résultats mais passage à l'échelle toujours problématique



Conclusion





- ▶ Calcul automatique de bornes pour le TSP en LS 9.0+
- ▶ Future intégration de la méthode Held-Karp pour le CVRP



Conclusion

- ▶ Calcul automatique de bornes pour le TSP en LS 9.0+
- ▶ Future intégration de la méthode Held-Karp pour le CVRP

Références

-  William J. Cook et al. Combinatorial Optimization. 1998.
-  Marshall L. Fisher. “Optimal Solution of Vehicle Routing Problems Using Minimum K-Trees”. In: *Operations Research* 42.4 (1994), pp. 626–642.
-  Michael Held and Richard M. Karp. “The Traveling-Salesman Problem and Minimum Spanning Trees”. In: *Operations Research* 18.6 (1970), pp. 1138–1162.
-  Christine L. Valenzuela and Antonia J. Jones. “Estimating the Held-Karp lower bound for the geometric TSP”. In: *European Journal of Operational Research* 102.1 (1997), pp. 157–175.

